

## О ПОДОБИИ ТЕЧЕНИЯ ПРИ МГНОВЕННОМ ТОЧЕЧНОМ ЭНЕРГОВЫДЕЛЕНИИ В ИДЕАЛЬНОМ ГАЗЕ ОКОЛО ПЛОСКОЙ ПОВЕРХНОСТИ

А.С. К и с е л е в, А.В. П а н а с е н к о

Целью работы является рассмотрение некоторых закономерностей формирования течения при точечном энерговыделении в ограниченном пространстве.

Аналогично [1, 2] рассмотрим мгновенное точечное выделение энергии  $E_0$ , происшедшее на высоте  $H$  над плоскостью в покоящемся идеальном совершенном газе с постоянными начальными значениями плотности  $\rho_0$ , давления  $P_0$  и показателя адиабаты  $\gamma$ . Начиная с момента времени  $t=0$  прихода ударной волны на плоскость, течение симметрично относительно оси  $z$  (ось  $z$  цилиндрической системы координат  $z, r, \varphi$  перпендикулярна плоскости и проходит через точку энерговыделения) и зависит от следующего набора величин [1, 2]:

$$r, z, t, \rho_0, P_0, E_0, H, \gamma.$$

В соответствии с теорией размерности и подобия [3] решение задачи при  $t > 0$  будет зависеть от пяти комбинаций безразмерных параметров, которые можно записать тремя способами. Два из них использованы в [1, 2], а третий имеет вид

$$r^* = \frac{r}{H}, \quad z^* = \frac{z}{H}, \quad t^* = \frac{t}{\sqrt{\rho_0 H^3 + 2/E}}, \quad \beta = \frac{H^3 \rho_0}{E}, \quad \gamma. \quad (1)$$

Здесь:  $E_0 = \alpha_0 E_0$ ;  $\alpha_0$  – константа, определяемая из решения задачи о сильном точечном энерговыделении в идеальном газе [3];  $\nu = 1, 2, 3$  – соответствуют случаям плоского, цилиндрического и сферического энерговыделения.

Параметр  $\beta$  по физическому смыслу является безразмерным давлением в невозмущенной атмосфере. При  $\beta \rightarrow 0$ , когда  $(E/\rho_0)^{1/\nu} \gg H$ , мы приходим к задаче о сильном точечном энерговыделении на высоте  $H$  над плоскостью, которая представляет известный теоретический интерес. Решение этой задачи зависит от одной безразмерной константы  $\gamma$  и допускает пересчет на любые значения  $E$  и  $H$ . При этом известный случай энерговыделения при  $H=0$  [3] является асимптотическим решением рассматриваемой задачи при  $t^* \rightarrow \infty$ .

В качестве иллюстрации области применимости указанного выше подобия на рис. 1, 2 представлены результаты расчетов, полученные с применением численного метода [4]. Рис. 1 соответ-

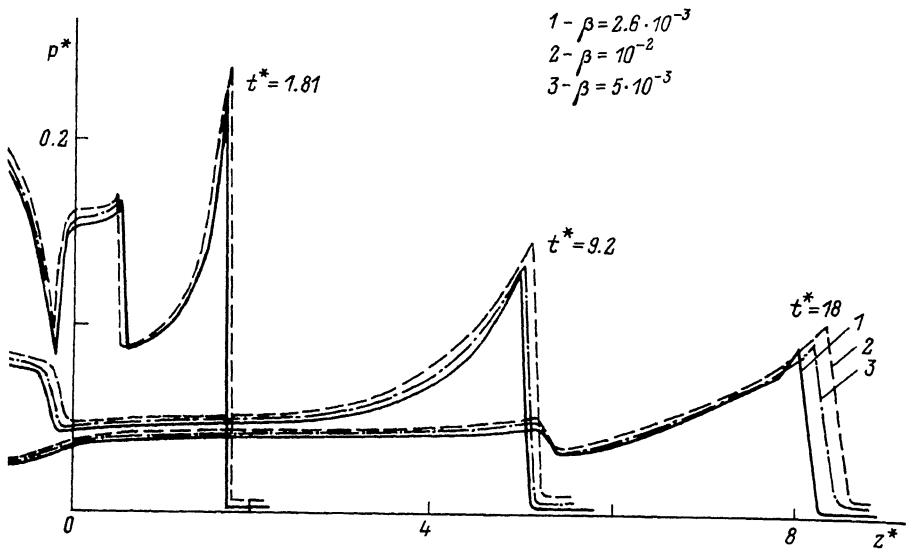


Рис. 1.

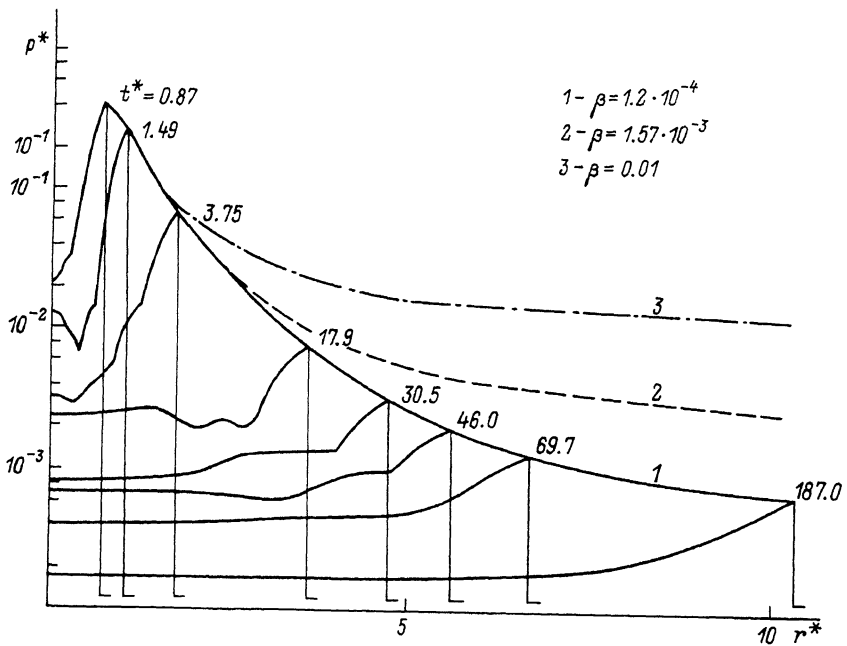


Рис. 2.

ствуется  $\nu = 1$  и показывает наличие подобия при разных  $\beta$  на различных стадиях нестационарного течения газа. В процессе отражения возникает серия ударных волн и волн разрежения, движущихся к плоскости и вслед за головной ударной волной. Подобие течения имеет место уже при  $\beta \leq 0.01$ . Здесь и ниже  $\rho^* = \frac{\rho \cdot H^\nu}{E}$ .

Значительный интерес для теории представляет распределение максимальных давлений  $\rho_M^*(x^*)$  при  $Z=0$ , приведенное для  $\nu = 3$  на рис. 2, для различных  $\beta$ . Видно, что при  $\beta \leq 0.01$  подобие с высокой степенью точности соблюдается при  $x^* < 1$ .

Как показывают проведенные расчеты, распределение параметров за фронтом головной ударной волны при  $\beta=0$  стремится при  $t \rightarrow \infty$  к распределению параметров при сильном точечном энерговыделении величины  $2E_0$ , произведенном при  $H=0$ .

### С п и с о к л и т е р а т у р ы

- [1] Ф о н а р е в А.С., П о д л у б н ы й В.В. Взаимодействие взрывной волны с твердой поверхностью. Тр. ЦАГИ, В. 1610. М.: ЦАГИ, 1975. С. 148.
- [2] К е с т е н б о й м Х.С., Ш у р и н о в А.И. // Изв. АН СССР, МЖГ. 1978. № 3. С. 111-116.
- [3] С е д о в Л.И. Методы подобия и размерности в механизме. М.: Гостехиздат, 1957.
- [4] Ж м а к и н А.И., Ф у р с е н к о А.А. // Ж. вычислит. матем. и матем. физ. 1980. Т. 20. № 4. С. 1021-1031.

Ленинградский политехнический  
институт им. М.И. Калинина

Поступило в Редакцию  
3 февраля 1989 г.